ВЫЧИСЛИТЕЛЬНАЯ ТЕХНИКА

Д. С. МЕЛКОНЯН, А. А. ГАЗАРЯН

ЧИСЛЕННЫЯ МЕТОЛ РАСЧЕТА ЧАСТОТНЫХ ХАРАКТЕРИСТИК ПО НЕРАВНООТСТОЯЩИМ ОТСЧЕТАМ КРИВОЙ переходного процесса

В ряде случаев эффективным средством сокращения избыточности исходных данных инфрового спектрального анализа переходных процессон является введение неравномерного шага дискретизации, при котором отечеты анализируемого процесса берутся в точках, расположенных по закону геометрической прогрессии [1, 2]. В настоящей работе дискративности в под поставания по дости в поставания по дости по функций времени, особенностью которого является использование способа кусочно-линейной аппроксимании преобразуемой функции с разложением аппрокримирующей кривой на сумму сдвинутых во времени неравнобедренных треугольников.

Метод. Пусть h(t) — исходиая функция времени, описывающая анализируемый процесс, которая задана своими дискретными значениями (k = 0.1, ..., N) в точках

$$t_k = t_0 \cdot c^k, \tag{1}$$

где t_0 — точка, в которой берется нервый отсчет $(t_0 \neq 0)$; $t_0 = 1$ — ноказатель геометрической прогрессии, определяющий скорость возрастания интервалов между последовательными отсчетами.

Для приближенного расчета спектральных характеристик функция h(t) аппрокенмируется кусочно-ломаной кривой, состоящей из отрезков прямых, сопрягающихся в точках $h(t_s)$. При этом спесобе аппроксимации, в предположения, что h(0) = 0, функция h(t) может быть представлена в виле

$$h(t) = \sum_{k=0}^{N-1} h(t_k) \varphi_k(t-t_k) + h(t_N) \eta_N(t-t_N), \tag{2}$$

где правая часть уравнения янляется аналитическим выражением аппроксимирующей кривой, а $q_n(t)$ и $\eta_n(t)$ — функции, определяемые следующими разенствами

$$| \varphi_k(t) = 0, \quad \text{при } t > \Delta t_{k-1},$$

$$| \varphi_k(t) = 0, \quad \text{при } t < \Delta t_1,$$

$$\begin{cases} \varphi_{\bullet}(t) = 1 - \frac{t}{\Delta t_{k+1}}, & \text{при } 0 < t \leq \Delta t_{\bullet}, \\ \varphi_{k}(t) = 1 + \frac{t}{\Delta t_{k}}, & \text{при } \Delta t_{k} \leq t \leq 0; \\ \tau_{N}(t) = 0, & \text{при } t > 0, \\ \eta_{N}(t) = 0, & \text{при } t \leq \Delta t_{N}, \end{cases}$$

$$(4)$$

$$\eta_{N}(t) = 1 + \frac{t}{\Delta t_{N}}, & \text{при } \Delta t_{N} \leq t \leq 0,$$

FIC

$$\Delta t_1 = t_1 - t_{k-1} = t_0 \ c^{k-1} \ (c-1). \tag{5}$$

Представление аппроксимирующей функции в виде суммы неравнобедренных треугольников $\phi_{\kappa}(t)$ и прямоугольного треугольника $\eta_{\infty}(t)$ согласно уравнению (2) излюстрируется на рис. 1.

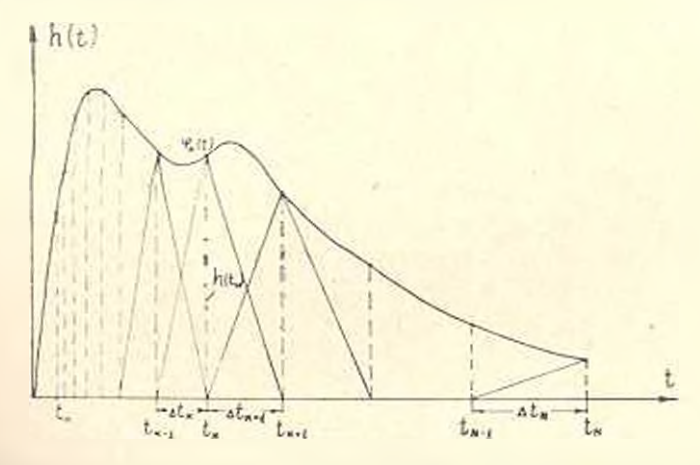


Рис. 1. Предствиление аппроксимирующей функции в инде неравнобелренных треугольников.

Для получения приближенного выражения комплексного частотното спектра функции h(t), определяемого формулой

$$H(j\omega) = \int_{0}^{\infty} h(t) e^{-j\omega t} dt, \qquad (6)$$

исобходимо в выражении (6) вместо функции подставить ее приближенное выражение (2). Получаем

$$H(f_n) \approx \sum_{k=0}^{N-1} h(t_k) \circ_k (f_n) e^{-f_n t_k} + h(t_N) \tau_N (f_n) e^{-f_n t_N},$$
 (7)

где $\varphi_k(j\omega)$ и $\eta_N(l\omega)$ -- комплексные спектры функций $\varphi_k(l)$ и $\eta_N(l)$. Расчетные выражения для $\varphi_k(j\omega)$ представляющей собой ком-

плексный спектр неравнобедренного треугольника, после ряда преобразований, приводится к виду

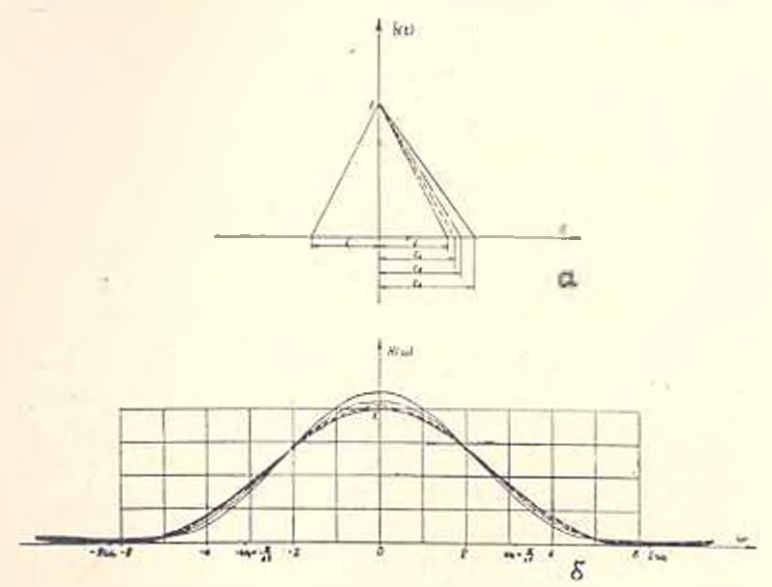
$$\sigma_{k}(j\omega) = \frac{1 + c - c \cdot \cos \omega \Delta t_{k} - \cos c \omega \Delta t_{k}}{\omega^{2} c \Delta t_{k}} + j \frac{\sin c \Delta t_{k} \cdot c \cdot \sin \Delta t_{k}}{\omega^{2} c \Delta t_{k}}$$
(8)

Комплексный спектр функции $\eta_N(t)$ выражается формулой

$$I_{\infty}(i\omega) = \frac{1 - \cos \omega \Delta t_{\infty}}{1 - \cos \omega \Delta t_{\infty}} + \frac{i}{\omega} \left(1 - \frac{\sin \omega \Delta t_{\infty}}{\omega \Delta t_{\infty}} \right). \tag{9}$$

Таким образом, вычисление частотных спектров функции h(t), заданной в экспоненциально распределенных точках, с использованием кусочно-линейной аппроксимации, сводится к расчету спектров неравнобедренных треугольников с вершинами в точках $h(t_{\rm A})$ и суммированием их согласно формуле (7).

На основе разработанного метода построен алгоритм расчета частотных спектров для логарифмических шкал частот. Он построен таким образом, чтобы избежать повторения вычислений некоторых из членов, входящих в формулу (7). С этой целью введен греугольник ф(1), высота которого делиг основание на части, равные 1 и г (рис. 2а).



Рез. 2. а — типовые перавнобедренные реугольники с различными значениями параметра с: а — амплитулные спектры соответствующих треугольников.

Можно записать следующие соотношения

$$\varphi_0(t) = \psi\left(\frac{c}{\Delta t_0}\right),$$

$$\vdots$$

$$\psi_k(t) = \psi\left(\frac{t}{c^k \Delta t_0}\right),$$
(10)

где

$$\Delta t_{\rm s} = t_{\rm o} \left(1 - \frac{1}{c}\right) \tag{II}$$

* Пусть $\psi(j_{\Theta})$ — частотный спектр функции $\psi(t)$, тогда может быть записано соотношение

$$\varphi_k(f\omega) = c^k \Delta t_0 \varphi_0(c^k \Delta t_0 f\omega). \tag{12}$$

Если вычислять функцию Н (јы) иля лискретного ряда частот

$$\omega_7$$
 , (13)

то, с учетом (12), выражение (7) запишется в виде

$$H(j\omega_k) = \sum_{k=0}^{N-1} h_k c^k \Delta t_0 \div (c^k - \Delta t_0) - e^{-N-N} + \frac{1}{2}$$

$$-h(t_N) \, \tau_N \, (c^{N+1} \Delta t_0 j\omega_0) - e^{-N}. \tag{14}$$

На основе разработанного алгоритма записаны программы расчетов на языках программирования АП ЭВМ семейства «Папри» и ФОРТРАН-IV. Расчеты производились на ЭВМ «Напри-2» и ЕС-1030, соответственно

В качестве исходной информации в ЭВМ вводятся следующие исходные данные: 11 значение t_0 — точки, в которой берется первый отсчет; 2) число веравноотстоящих ординат исходной функции; 3) тип исследуемой кривой; 4) значения ординат h_k и 5) число точек на декаду, соответствующее определенному значению v, которое выбирается, исходя из следующих соображений. При представлении функции h(t) в логарифинческих шкалах, шаг дискретизации определяется числом отсчетов, приходящих на декаду. При дискретизации исходной функции с шагом, соответствующим заданию n точек на декаду, выполняется соотношение $c^n = 10$, откуда $c = \sqrt[n]{10}$.

При n=10 точек на декаду r=1,258925497, n=20 c=1,122018486, n=40-c=1,059253737

Проведлиные расчеты показали, что при шаге дискретизации, соответствующем заданию 20 точек на декаду, обеспечивается достаточно высокая точность расчетов.

На рис. 26 показаны амплитудные спектры неравнобедренных треугольников, рассчитанные для различных значений с. которые выбираются в соответствии с n = 10 (пунктирная кривая), 20 (штрих-пунктирная) и 40 точкам на декаду (сплошная кривая). Как видно из рисунка, спектры рассматриваемых треугольников, также как и амплитудный спектр равнобедренного треугольника (точечная кривая на рис. 26), не имеет ограничения по частоте, что позволяет пычислять спектры исслезуемых функций в значительных цианазонах их изменения.

Эффективаесть разработанного метода и вычислительного алго-

ритма была определена путем сравнения аналитических снектров со спектрами, вычисленными согласно разработаниому алгоритму и алгоритму, использующему равномерные отсчеты исходной функции. На ряле типовых примеров показано, что алгоритм расчета частотных спектров по экспоненциально распределенным отсчетам по сравнению с алгоритмами, использующими равномерные отсчеты преобразуемой функции, использует значительно меньшее число отсчетов — избыточность данных сокращается, в среднем в 6—12 раз, что способствует сокращению времени машинных расчетов.

Пример расчета. Рассмотрим импульсную переходную функцию системы управления зрачковым рефлексом $h_{\pm}(t)$, полученную на основе экспериментальных данных.

На рис. За показаны: а) исходная функция h_+ (t), дискретизированизя по исравноотстоящим отсчетам; б) соответствующие кривые ампли-

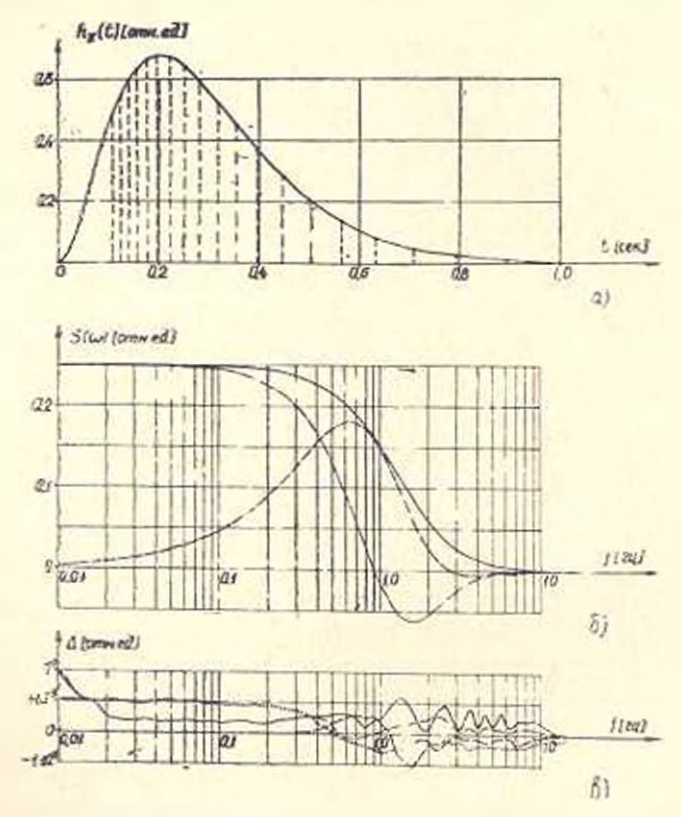


Рис. 3. a — дискретизация исходной функции по неравноотстояним отсчетам; 6 — частотных спектры функции h (1); a — соответствующие крияме оппорок расчета спектров.

тудного (сплошная), вещественного (штрих-пунктирная) и мнимого (пунктирная) спектров, представленные в логарифмической шкале частот в днапазоне от 0,01 до 10 Гц; в) соответствующие кривые ошибок, гле точечная кривая отображает опичбки расчета согласно алгоритму па равноотстоящим отсчетам.

Используемое число ординат равно 40— для алгоритма по исравноотстоящим отсчетам и 240— алгоритма по равноотстоящим отсчетам.

Выводы

Разработач метод инфрового спектрального анализа, особсиностями которого являются: 1) задание исходной информации иля расчетов в виде значении преобразуемой функции в консчном множестве точек, расположенных по закону возрастающей геометрической прогресски; 2) использование способа кусочно-липейной анироксимации преобразуемой функции г разложением анироксимируемой криной на сумму сдвинутых во времени перавнобедренных треугольников.

На этой основе построен алгоритм инфрового спектрального анализа, эффективный с точки зрения сакращения избыточности данных, используемых для машинной обработки. Логарифмические шкалы, для которых производятся расчеты частотных спектров, позволяют охватывать значительные днаназоны их задания. На численном примере произлюстрирована высокая точность расчетного алгоритма и его эффективность и отношении сокращения избыточности данных.

Расчетные формулы разработанного метода и построенного ин его основе алгоритма сравнительно просты и удобны для программной реализации.

Инст. физиология АН АрмССР

Поступнао 13.У1.1979

Դ Ս. ՄԵԼՔՈՆՅԱՆ, Ա. Ա. ՎԱԶԱՐՅԱՆ

ՀԱՃԱԽԱԿԱՆ ՔՆՈՒԹԱԳՐԵՐԻ ՀԱՇՎԱՐԿՄԱՆ ԹՎԱՑԻՆ ՄԵԹՈԳ ԱՆՑՈՎԻԿ ՊՐՈՑԵՍԻ ԿՈՐԻ ԱՆՀԱՎԱՍԱՐԱԶԱՏ ՀԱՇՎՈՒՄԵՄՐՈՎ

Hafdin din card

Առաջարկվում է անցողիկ պրոցեսների ճաճախական բնուքադրերի նա վարկվան նոր մեքնող, որի առանձնահատկությունը կայանում է հլման կորի կասը-ոծային ժուսարկման հղանակի օգտաղործումը և նրա անճավասարազատ հաշվումների կիրառումը, որոնք ենքարկվում են աճող երկրաշափական այրողբեսիայի օրենթին։

Մշակման ժնքոդր և նրա հիմրի վրա կառուցված Հաշվողական ալդոոիքներ լոգարիքմակ<mark>ան ցուցանակի</mark> Համար հանդիսանում են ավելցուկ ելային ավյալների կրձատման էֆեկտիվ միջոց։

ЛИТЕРАТУРА

- Мелкония Д. С. Метод пипрокенмации пинамических характеристик экспо езипальпо-спиусопл. яыми функциями. «Известия АП АрмССР (серля Т. И.)» г. XXII. № 5, 1969.
- 2. Helms D. D. Power Spectra Obtained from Exponentially Increasing Spacings of Sampling Partons and Frequencies, IEEE Trans. Acoustics, Speech and Signs' Processing. ASSP 24, No. 1, Fedr. 1976, 63-71.